

(165) 吹込み精錬における吹込みガスの運動エネルギーの役割り

川崎製鉄(株) 技術研究所 ○ 拝 田 治

ブリティッシュ・コロンビア大学 J.K. Brimacombe

1. 緒言 液体中へのガス吹込みに伴う攪拌エネルギーは、運動エネルギー ($\varepsilon_k = \rho_g v_g^2 / 2$) と浮力エネルギー ($\varepsilon_b = \rho_g g H$) より成る。このうち ε_k の攪拌への寄与については従来 2 説あった。すなわち、吹抜け^{1), 2)}、バーリングからシェッティングへの遷移、スプラッシュ、底たたきなどの現象を調べると ε_k の寄与が大きく、バルク液体の混合については ε_k の寄与は小さい³⁾ と報告されていた。そこで、本研究は、 ε_k の攪拌への寄与をより明確にすることを目的として行なった。

2. 実験 円筒形容器の底面中央よりガス吹込みする水モデル実験を行なった。限界電流法⁴⁾を用い底面の半径に垂直な方向に埋込んだ 9 個のセンサーによってせん断応力を、ガス吹込み用ノズルから 11, 31, 71 mm 高さの位置に設置した 3 個のセンサーによって水の流速 v_g を測定した。 $\tau \propto k^3$ の関係式⁴⁾より物質移動係数 k も計算できる。 ε_b 一定、すなわち浴深さ H 一定の下にガスの密度 ρ_g (N_2 と He) とノズル径 d (3.2, 6.4 mm) を変えて ε_k を変化させることにより ε_k の効果を調べた。

3. 結果 底面の平均せん断応力 τ_{AV} は、ガス流量 Q が増すにつれて増加し、臨界流速 Q_c で最大値を示す (Fig. 1)。目視観察よりこの最大値は“吹き抜け”に対応していた。文献 1) に報告された式により計算した“吹き抜け”的臨界値 Q_c^{cal} が上記 Q_c とはほぼ一致することもこの解釈を裏付ける。Fig. 1において、 Q_c がガス種とノズル径に依存することより“吹き抜け”は ε_k に影響されることが確認された。一方、浴深を増し、“吹き抜け”が起らぬ条件下では、Fig. 2 に示すように $\sum \tau_i S_i$ (S_i : i 番目のセンサーに割当てた底面積と τ の測定値) が ε_b の 0.63 乗に比例する。この指標 0.63 は、浴全体の流動が ε_b のみで決まるとした場合の理論値 0.67 とはほぼ一致する。したがって浴全体の流動に対する ε_k の寄与は少ない。ノズルから、1.1, 7.1 cm の位置の水の流速 v_g は Fig. 3 に示すようにガス種すなわち ε_k に影響される。

N_2 ガス吹込みは、 ε_k が大きいので 1.1 cm 位置の v_g が大きいが、“吹き抜け”により 7.1 cm 位置の v_g は逆に小さい。

4. 結論 ε_k は、“吹き抜け”現象に強く影響するが、浴全体の流動への影響は小さい。また、 ε_k は、ノズル前方の液体流速 v_g にも影響する。

文献 1) 加藤、野崎、鈴木、中西、永井：鉄と鋼、65(1979)A137, 2) 甲斐、大河平、平居：鉄と鋼、68(1982)P1964, 3) O. Haida, J. K. Brimacombe : SCAN INJECT-III, Lulea, Sweden,

June 15-17, 1983, P5:1~5:17, 4) J. R. Selmen, C. W. Tobias : Advances in Chem. Eng., Academic Press, 1978

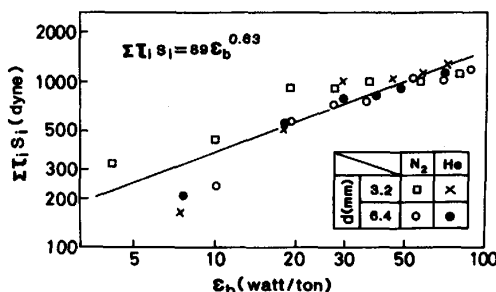


Fig. 2 Relation between shear force, $\sum \tau_i S_i$, and buoyancy energy, ε_b .

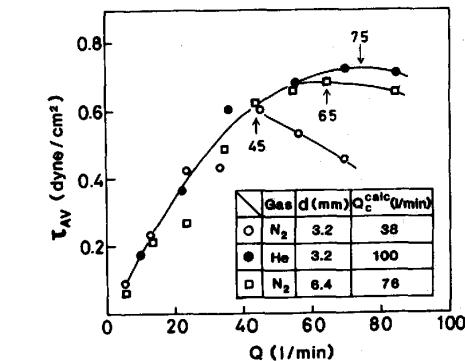


Fig. 1 Decrease of averaged shear stress, τ_{AV} , due to channeling.

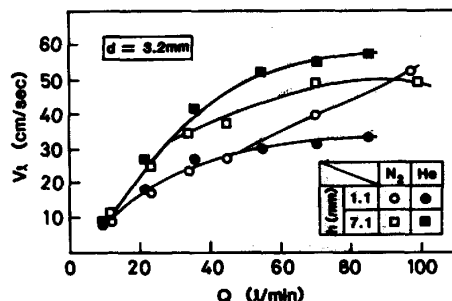


Fig. 3 Water velocity, V_g , at different heights from the nozzle.